

Wir wählen jetzt  $R$  beliebig  $> k$  und betrachten das Funktional

$$A_R(f) = \int_{\Omega} \sqrt{1+|df|^2} dx$$

auf der Klasse  $\text{Lip}_R(\Omega, \mathbb{R})$ ,  $f_R$  sei die nach Satz 6.2 existierende eindeutige Minimalstelle von  $A_R$  in  $\text{Lip}_R(\Omega, \mathbb{R})$ , und wir zeigen:

$$\ast \quad \text{Lip}(f_R) \leq k,$$

d.h. die Lipschitz Konstante von  $f_R$  wird durch  $k$  beschränkt und ist somit echt kleiner als  $R$ .

Zum Beweis von  $\ast$  wählt man  $x_0 \in \partial\Omega$  und dazu affin lineare Funktionen  $L^\pm : \mathbb{R}^n \rightarrow \mathbb{R}$  mit

$$L^- \leq g \leq L^+ \text{ auf } \partial\Omega, \quad L^-(x_0) = g(x_0) = L^+(x_0), \\ \text{Lip}(L^\pm) \leq k.$$

Die Funktionen  $L^\pm$  gehören zu  $\text{Lip}_R(\Omega, L^\pm|_{\partial\Omega})$ , lösen auf  $\Omega$  natürlich die Minimalflächen Gleichung, mithin folgt aus Teil iii) von Satz 6.3, daß  $L^\pm$  die eindeutigen  $A_\Omega$ -Minimalstellen in  $\text{Lip}_R(\Omega, L^\pm|_{\partial\Omega})$  sind. Also können wir das Vergleichsprinzip Satz 6.3 ii) anwenden, woraus folgt:

$$L^- \leq f_R \leq L^+ \text{ auf } \overline{\Omega}.$$

Für  $x \in \overline{\Omega}$  bedeutet dies:

$$f_R(x) - f_R(x_0) \leq L^+(x) - f_R(x_0) = L^+(x) - g(x_0) =$$

$$= L^+(x) - L^+(x_0) \leq k \cdot |x - x_0|.$$

Und entsprechend  $f_R(x) - f_R(x_0) \geq -k \cdot |x - x_0|$ , so daß

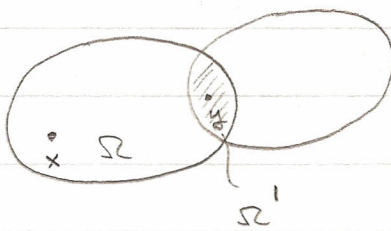
wir zunächst bekommen:

$$\left. \begin{aligned} & \quad |f_R(x) - f_R(y)| \leq k \cdot |x - y|, \\ & x \in \bar{\Omega}, y \in \partial\Omega. \end{aligned} \right\}$$

Seien  $x, y$  nun beliebige Punkte aus  $\bar{\Omega}$ . Man setzt  $v := y - x$  und betrachtet das Gebiet

$$\Omega' := \Omega \cap (v + \Omega),$$

wo  $v + \Omega$  die um  $v$  verschobene Menge repräsentiert.



Man setzt  $f_{1,2}: \Omega' \rightarrow \mathbb{R}$ ,

$$f_1(z) := f_R(z), \quad f_2(z) := f_R(z - v),$$

und sieht:  $f_i$  ist  $A_{\Omega'}$ -minimal in  $\text{Lip}(\Omega', f_i|_{\partial\Omega'})$ ,

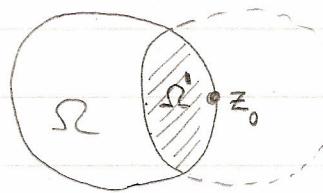
das Vergleichsprinzip Satz 6.2 ii) liefert die Abschätzung

$$\sup_{\Omega^1} |f_1(z) - f_2(z)| \leq \sup_{\partial\Omega^1} |f_1(z) - f_2(z)|, \text{ also}$$

$$\sup_{z \in \Omega^1} |f_R(z) - f_R(z-v)| \leq \sup_{z \in \partial\Omega^1} |f_R(z) - f_R(z-v)|.$$

Das Supremum rechts wird realisiert in einem Punkt  $z_0 \in \partial\Omega^1$ .

Fall 1:  $z_0 \in \partial\Omega \cap \partial\Omega^1$



Dann ist

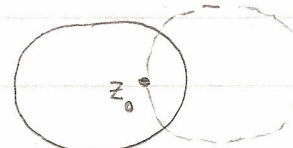
$$|f_R(y) - f_R(x)| = |f_R(y) - f_R(y-v)| \leq$$

$$\sup_{z \in \Omega^1} |f_R(z) - f_R(z-v)| \leq |f_R(z_0) - f_R(z_0-v)|$$

Der Punkt  $z_0-v$  liegt in  $\overline{\Omega^1}$ ,  $z_0$  gehört zum Rand von  $\Omega^1$ , also gilt nach \*\*

$$|f_R(z_0) - f_R(z_0-v)| \leq k \cdot |v| = k \cdot |x-y|.$$

Fall 2:  $z_0 \in \Omega \cap \partial\Omega^1$



Dann gehört  $z_0-v$  zu  $\partial\Omega$  und man kann wieder \*\* benutzen.

Insgesamt ist damit bewiesen:

SATZ 6.4: Sei  $\Omega \subset \mathbb{R}^n$  beschränkt und konvex.  $f: \partial\Omega \rightarrow \mathbb{R}$  sei Lipschitz stetig, und die B.S.C. sei mit  $K > 0$  erfüllt. Dann gilt für  $R > K$ :

$$\text{Lip}(f_R) \leq K,$$

wobei  $f_R$  die früher die eindeutige Minimalstelle von  $A_{\Omega}$  in  $\text{Lip}_R(\Omega, f)$  berechnet. Die Lipschitz Konstante von  $f_R$  ist also echt kleiner als die vorgegebene Schranke  $R$ .

Bemerkungen: 1) Satz 6.4 beinhaltet eine sogenannte apriori Abschätzung für den Gradienten, die durch die B.S.C. bewiesen wird.

2) Aus der Lipschitz Stetigkeit von  $f: \partial\Omega \rightarrow \mathbb{R}$  zusammen mit der Gültigkeit der B.S.C. mit Konstante  $K$  folgt natürlich

$$\text{Lip}(f) \leq K,$$

dann sind  $L^\pm$  entsprechende Funktionen zum Randpunkt  $x \in \partial\Omega$ , so gilt

$$\begin{aligned} f(x) - f(y) &= L^-(x) - f(y) \leq L^-(x) - L^-(y) \\ &\leq K \cdot |x-y| \end{aligned}$$

und entsprechend

$$f(x) - f(y) \geq L^+(x) - L^+(y) \geq -K |x-y|.$$

Nach diesen Vorbereitungen sind wir jetzt in der Lage, einen Existenzsatz für das Minimalflächenproblem zu formulieren:

SATZ 6.5: Sei  $\Omega$  beschränkt und konvex sowie  $f: \Omega \rightarrow \mathbb{R}$  Lipschitz stetig. Erfüllen  $\Omega$  und  $f$  eine B.S.C., so gibt es genau eine Funktion  $\tilde{f} \in \text{Lip}(\Omega, f) := \{g: \overline{\Omega} \rightarrow \mathbb{R} \mid g \text{ Lipschitz mit } g|_{\partial\Omega} = f\}$ , so daß

$$A_{\Omega}(f) = \int_{\Omega} \sqrt{1 + |\nabla f|^2} dx \leq A_{\Omega}(\tilde{f})$$

für alle  $g \in \text{Lip}(\Omega, f)$  gilt.

Beweis: Man wählt  $R > K$  (Konstante aus der B.S.C.) und betrachtet die  $A_{\Omega}$ -Minimalstelle  $f_R$  in  $\text{Lip}_R(\Omega, f)$ . Nach Satz 6.4 gilt

$$\text{Lip}(f_R) < R,$$

so daß  $f_R + \varepsilon \cdot (g - f_R) \in \text{Lip}_R(\Omega, f)$  ist für jede beliebige Funktion  $g \in \text{Lip}(\Omega, f)$ , vorausgesetzt  $|\varepsilon| \ll 1$ . Es folgt

$$A_{\Omega}(f_R) \leq A_{\Omega}(f_R + \varepsilon(g - f_R)) \Rightarrow (\tilde{f} := f_R)$$

$$\frac{d}{d\varepsilon} \int_{\Omega} \sqrt{1 + |\nabla(f + \varepsilon(g - f))|^2} dx = 0 \iff$$

$$(1) \quad \int_{\Omega} (1 + |\nabla f|^2)^{-1/2} \nabla f \cdot \nabla(g - f) dx = 0.$$

$$\text{Mit } F(p) := \sqrt{1 + |p|^2} \text{ ist für zwei verschiedene Punkte } p, q \in \mathbb{R}^n$$

$$F(q) - F(p) = \nabla F(p) \cdot (q-p) + D^2 F(q^*)(q-p, q-p),$$

wo  $q^*$  eine geeignete Zwischenstelle berechnet. Nun ist  $F$  konvex, also

$$D^2 F(q^*)(q-p, q-p) \geq 0,$$

und mit  $g := \nabla g$ ,  $p := \nabla f$  folgt

$$\int_{\Omega} \sqrt{1+|\nabla g|^2} dx - \int_{\Omega} \sqrt{1+|\nabla f|^2} dx \geq$$

$$\int_{\Omega} \nabla f \cdot \nabla (g-f) (1+|\nabla f|^2)^{-1/2} dx,$$

und die rechte Seite ist gemäß (1) identisch 0, also

$$\int_{\Omega} \sqrt{1+|\nabla g|^2} dx \geq \int_{\Omega} \sqrt{1+|\nabla f|^2} dx,$$

und das war zu zeigen. ■

Lassen wir also Lipschitz Graphen als Minimalflächen zu, so finden wir in dieser erweiterten Klasse eine Fläche kleinsten Inhalts. Es stellt sich nun natürlich die Frage, ob man an solchen Lösungen überhaupt interessiert ist, denn Lipschitz Graphen können ja durchaus Knickstellen haben, so dass gar keine Mannigfaltigkeit im Sinne unserer früheren Definition vorliegen müßt. Es ist zum Beispiel unmöglich, die mittlere Normierung für Lipschitz Graphen zu erklären. Somit besteht eine Lücke zwischen unseren Betrachtungen aus § 5, wo wir  $C^2$ -Lösungen  $f: \Omega \rightarrow \mathbb{R}$

durch nicht parametrischen Minimalflächenproblem

$$(2) \quad \operatorname{div} \left( \frac{\nabla f}{\sqrt{1+|\nabla f|^2}} \right) = 0$$

diskutiert haben, und der vorstehenden Diskussion der Existenzfrage, die man leider nur in Klassen von nichtglatten Funktionen führen kann: der naheliegende Gedanke

$$\int_{\Omega} \sqrt{1+|\nabla f|^2} \, dx \rightsquigarrow M'$$

auf  $C := \{ f \in C^2(\Omega, \mathbb{R}) : \|f\|_{\Omega} = \varphi \}$  zu studieren und damit

direkt glatte Lösungen von (2) zu produzieren, führt nicht zum Ziel. Ist  $\{f_m\}$  Minimalfolge in  $C$ , so möchte man eine Teilfolge wählen, die gegen eine  $C^2$ -Funktion  $f \in C$  konvergiert. Dazu ist aber erforderlich, solche Schranken auf  $\{f_m\}$  zu finden, die Kompaktheit in der  $C^2$ -Topologie garantieren. (Zum Beispiel könnten  $C^3$ -Normen von  $f_m$  uniform beschränkt sein, was die Anwendbarkeit von Arzela Ascoli bedeuten würde.) Leider hat man zuerst nur Information über die Minimalfolge, mit der direkten Methode der Variationsrechnung lassen sich keine glatten Lösungen produzieren.

Anderseits liegt man durchaus die Hoffnung, daß unsere Lipschitz Minimalstelle  $f: \Omega \rightarrow \mathbb{R}$  vielleicht besser regulär ist als es zunächst den Anschein hat. Dies führt uns in die sogenannte Regulierbarkeitstheorie. Tatsächlich gilt der sehr tiefe

SATZ 6.6: (Regulierbarkeitssatz von De Giorgi)

Die im Satz 6.5 erzeugte Lipschitz Minimalstelle ist auf  $\Omega$  reell analytisch.

Zurück und dann funktioniert es wieder mit dem Spültrichter.

Abbildung 3 zeigt die unterschiedlichen Abflussarten für verschiedene Flüssigkeiten. Hier sind folgende Flüssigkeiten benannt:

1. Die Gießgieß (aus Plastik), darin das Wasser fließt durch einen Abfluss, der aus einer Kugel mit mehrere Sekundenzeitverzögerung abfließt.

2. Die Gießgieß (aus Plastik), darin das Wasser fließt durch einen Abfluss, der aus einer Kugel mit mehrere Sekundenzeitverzögerung abfließt.

3. Die Gießgieß (aus Plastik), darin das Wasser fließt durch einen Abfluss, der aus einer Kugel mit mehrere Sekundenzeitverzögerung abfließt.

Drei Arten von Flüssigkeiten sind untersucht worden. Wobei die

Milch, Butter und Wasser mit einem Unterschied gefunden wurden. Milch und Wasser haben eine Verzögerung von  $n = 3$ , Butter hat eine Verzögerung von  $n < 3$ .

Für  $n = \alpha$  sind  $C^{\alpha}$ - Lösungen die nullpunktstabilen.

Die Ergebnisse zeigen, dass die Flüssigkeiten unterschiedlich verhalten. Mit Wasser und Butter ist es möglich, dass die Flüssigkeit auf dem Tisch bleibt, während sie auf Butter verschmilzt.